

HBsAg进入体外培养的人绒毛膜滋养层细胞的初步研究

王雪萍^袁徐忠^袁李远贵^袁司永平^袁可^袁张景霞^{第四军医大学流行病学教研室袁}陕西 西安 710033^冤

摘要 目的 检测 HBsAg 进入体外培养的人绒毛膜滋养层细胞的情况。为 HBV 宫内传播机制研究提供理论依据。方法 用胰蛋白酶和 DNase 联合消化法获取纯度较高的人绒毛膜滋养层细胞，将状态良好的对数生长期人绒毛膜滋养层细胞分为 6 组：HBsAg-anti-HBs 复合物组、灭活的 HBsAg、HBeAg 和 anti-HBc 均阳性血清和高滴度 anti-HBs 阳性血清共同孵育物组、灭活的 HBsAg、HBeAg 和 anti-HBc 均阳性血清组、HBsAg 组、灭活的正常人血清组及正常细胞培养液组。空白对照组分别收集各组细胞铺片，免疫组化检测细胞的感染状况。结果 所获人绒毛膜滋养层细胞纯度较高，符合后续实验要求。用鼠抗人 anti-HBs 免疫组化检测收集的细胞铺片，发现各组均有大量 HBsAg 阳性信号，且各组细胞亦有少量 HBsAg 阳性信号出现。其他各组细胞均未发现 HBsAg 阳性信号。结论 体外培养的人胎盘滋养层细胞能将 HBsAg- 抗 HBs 复合物中的 HBsAg 吞噬并摄入胞内。

关键词 绒毛膜滋养层细胞、培养、乙型肝炎病毒、免疫组织化学、宫内传播

中图分类号 Q813.1;R373.2 文献标识码 A 文章编号 1000-2588(2003)01-0016-05

HBsAg uptake into human trophoblasts cultured in vitro

WANGXue-ping,XUDe-zhong,LIYuan-gui,YANYong-ping,MENKe,ZHANGJing-xia

Department of Epidemiology,Fourth Military Medical University,Xi'an 710033,China

Abstract: Objective To detect the entry of HBsAg into human trophoblasts cultured in vitro, to provide some clues for the mechanism responsible for HBV intrauterine transmission. Methods Digestion with both trypsin (0.25%) and DNase I (0.15U/ml) followed by repeated purification was performed to obtain a homogeneous population of trophoblast cells. The well-developed cells during longitudinal phase were randomly divided in 6 groups, which were co-incubated respectively with HBsAg-anti-HBs complex (玉), co-culture of heat-inactivated sera positive for HBsAg, HBeAg, and anti-HBc and sera with high titer anti-HBs (域), heat-inactivated sera positive for HBsAg, HBeAg, and anti-HBc (灝), HBsAg (郁), heat-inactivated normal sera (吁), and normal medium (遇). The cover glasses mounted with confluent cells were harvested for anti-HBs immunohistochemical staining. Results The isolated cells comprised a highly purified villous trophoblast population and could meet the demands of further experiments. After co-incubation of the cells with different agents, HBsAg test yielded positive results in the cells co-incubated with the HBsAg-anti-HBs complex and in the co-cultures of heat-inactivated sera positive for HBsAg, HBeAg and anti-HBc with sera containing high-titer anti-HBs. HBsAg test was negative in all other cell groups. Conclusion Human trophoblast cells could take in HBsAg in the form of HBsAg-anti-HBs complex instead of single HBsAg molecule.

Key words: trophoblast cells, human; culture, in vitro; immunohistochemistry; hepatitis B virus; intrauterine transmission

HBV 感染是一个世界性的公共卫生问题。乙型肝炎简称乙肝，疫苗可以有效地预防乙肝。控制 HBV 母婴传播中的产中和产后传播亦取得了令人满意的效果。对于母亲宫内 HBV 传播，包括乙肝疫苗在内的现有措施却难以发挥作用。因此，有关 HBV 宫内传播机制的研究对于 HBV 的防治有很重要的理论和实际意义。从生理学和解剖学的角度讲，HBV 从感染的母亲传给胎儿必须经过胎盘。滋养层细胞直接与母亲血液接触，可能是 HBV 侵入胎盘的关键部位。因此，以往研究多以此为重点进行在体和流行病学研究。¹⁻⁴ 虽然证实了胎盘滋养层细胞上 HBV 呈阳

性表达，但 HBV 是否可以感染体外培养的人胎盘滋养层细胞目前尚不清楚。我们在离体条件下观察 HBsAg 进入培养的人绒毛膜滋养层细胞的情况，以探讨 HBV 宫内传播的生物学机制，为 HBV 宫内传播的早期阻断提供理论依据。

1 材料与方法

1.1 材料

CD16 和鼠抗人 anti-HBs 均购自基因有限公司；HBsAg 购自北京生物制品研究所；链霉素抗生物素蛋白 - 过氧化酶免疫组化染色超敏试剂盒购自 Ultra Sensitive TMS-PKit；购自福州迈新生物技术开发公司。

1.2 方法

1.2.1 人绒毛膜滋养层细胞的培养和鉴定 用胰蛋白酶 - DNase I 联合消化，经多种方法反复纯化，获取纯

收稿日期 2002-08-06

基金项目 院国家自然科学基金渊 0000181冤

Supported by National Natural Science Foundation of China 渊 0000181冤

作者简介 院王雪萍，女，陕西大荔人，博士生，电话 29-3374871

度较高的体外培养人绒毛膜滋养层细胞并用免疫细胞化学染色及透射电镜进行鉴定。详见文献^[1]。

1.2.2 HBsAg 进入人胎盘滋养层细胞过程中抗体依赖作用的实验研究 取纯化后的对数生长细胞胰酶消化制成细胞悬液接种于预先放有盖玻片的6孔培养板中。细胞接近长成单层时对数生长期分6组加上不同的因子。所有实验用血清均56倍稀释，0min灭活以消除补体活性。按照摸索出的HBsAg和anti-HBs IgG的最佳结合比例制备HBsAg-anti-HBs复合物。分别如下：对照组：复合物与人绒毛膜滋养层细胞共同孵育；实验组：将100倍稀释的高滴度anti-HBs阳性血清（1000U/ml）与等体积100倍稀释的HBsAg和IgG及anti-HBc均阳性的血清混合后于37℃孵育1h，然后将此孵育物与细胞共同孵育；实验组：细胞与HBsAg和IgG及anti-HBc均阳性的血清共同孵育；对照组：培养细胞与HBsAg共同孵育；对照组：培养细胞与HBV感染指标全阴性的正常人血清共同孵育；对照组：培养细胞加入正常培养液继续培养。空白对照组分别于不同时间点收集6组细胞铺片，每组每个时间点各收集2份，分别作为实验组和PBS空白对照组。充分洗涤直至洗涤液中ELISA检测HBsAg阴性为止。固定80℃保存。免疫组化检测细胞中HBsAg的表达情况。

1.2.3 免疫组化检测滋养层细胞内HBsAg感染情况 实验流程如下：取出冻存的细胞铺片，室温解冻。

15min PBS洗5min。依次加入过氧化酶阻断液7滴，孵育5min。用PBS洗涤5min。依次加入非免疫性动物血清7滴，孵育5min。不用PBS洗涤。实验组细胞铺片直接滴加100μl稀释的鼠抗人anti-HBs IgG PBS空白对照组细胞铺片滴加PBS液，37℃孵育5min。置4℃过夜。用PBS洗涤5min。依次加入生物素标记的第二抗体7滴，孵育5min。用PBS洗涤5min。依次加入链亲和素-过氧化酶溶液7滴，孵育5min。用PBS洗涤5min。依次加入新鲜配置的DAB显色液，镜下观察5min左右终止显色。苏木素复染。梯度乙醇脱水。二甲苯透明。中性树胶封固。显微镜下观察并照相。

2 结果

2.1 人绒毛膜滋养层细胞的鉴定

人绒毛膜滋养层细胞呈不规则多角形，核大卵圆形，位于胞质近中央。胞浆丰富透明，细胞呈片状铺展生长。
图1：接种前经锥虫蓝排斥试验检测，细胞活力良好，存活率超过90%。培养的细胞含有细胞角蛋白，呈棕黄色，位于胞浆部位，阳性率超过95%。（图2）
透射电镜下，培养的滋养层细胞外有大量微绒毛，偶见包被陷窝。胞质中线粒体大而多，粗面内质网与糖原颗粒清晰可辨。还可见到电子密度高的脂滴。
图3：表明培养的人绒毛膜滋养层细胞纯度超过95%，可以满足后续试验的需要。

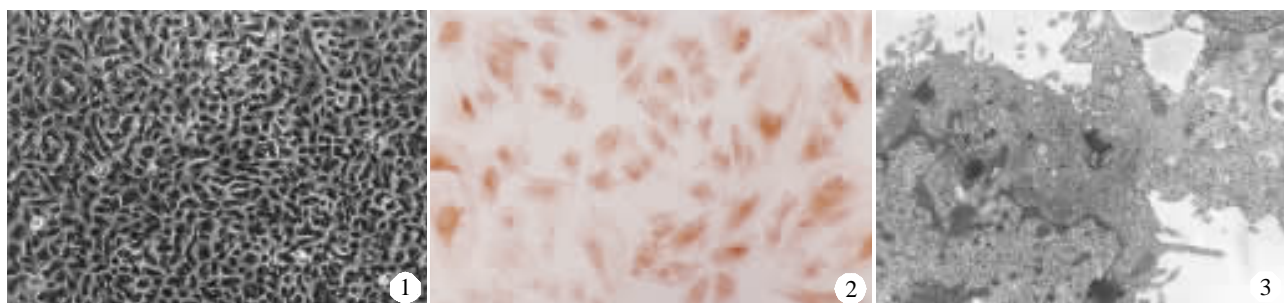


图1 滋养层细胞呈片状铺展生长 $\times 100$ 倍

Fig.1 Trophoblast cells under phasecontrast microscope $\times 100$ 倍

图2 培养细胞的角蛋白免疫组化染色 $\times 200$ 倍

Fig.2 Cells positive for cytokeratin using mouse anti-human monoclonal IgG staining $\times 200$ 倍

图3 培养细胞的透射电镜观察：可见大量微绒毛，偶见包被陷窝。胞质中线粒体大而多，粗面内质网与糖原颗粒清晰可辨。还可见到电子密度高的脂滴。 $\times 1000$ 倍

Fig.3 Transmission electron microscopy of the cells, exhibiting numerous microvilli, abundant mitochondria, glycogen, Golgi, many lipid droplets, branched segments of the rough endoplasmic reticulum, and occasional coated pits. $\times 1000$ 倍

2.2 免疫组化检测滋养层细胞内HBsAg感染情况

各组细胞分别与不同因子共同孵育后，收集各细胞铺片。发现对照组细胞除了随着孵育时间延长，密度不断增加外，细胞状态基本不受所加因子的影响。
照片略。
其他各组细胞生长状态均不同程度受到影

响。48h后，细胞片状脱落，并卷曲死亡。
照片略。
各组细胞经充分洗涤后，用鼠抗人anti-HBs染色。发现HBsAg阳性信号主要位于胞膜和胞浆。偶尔也可见位于胞核。
分析胞核着色原因可能为死亡细胞导致的假阳性。也可能与观察角度有关。
未着色的胞

核被着色胞浆覆盖袁境下观察似乎是胞核着色遥域组细胞状态比玉组细胞稍差袁HBsAg 阳性信号多位于胞膜壳胞浆袁胞核着色数量较玉组细胞明显增加图 5 兔可能是由于 HBsAg壳IBeAg壳anti-HBc 均阳性的血清中成分复杂壳有大量 HBV 颗粒壳细胞病变能力比 HBsAg-anti-HBs 复合物强袁造成死亡细胞数增加袁从而导致非特异性染色增加遥另外袁也有可能是 HBV 的确进入了细胞核袁并经过复制又重新产生了

更多的 HBsAg遥并且随着孵育时间延长袁细胞出现核固缩壳裂袁向死亡遥芋组细胞亦发现有 HBsAg 阳性信号出现图 6 兔推测是由于该种血清中 HBV 滴度较高壳并且含有少量 anti-HBs 的缘故遥郁组细胞经充分洗涤并确保细胞表面无粘附的 HBsAg 后袁用鼠抗人 anti-HBs 染色袁均未发现 HBsAg 阳性信号图 7 兔说明此组细胞没有将 HBsAg壳摄入胞内遥以上照片均为感染后 24 h 的细胞状态遥

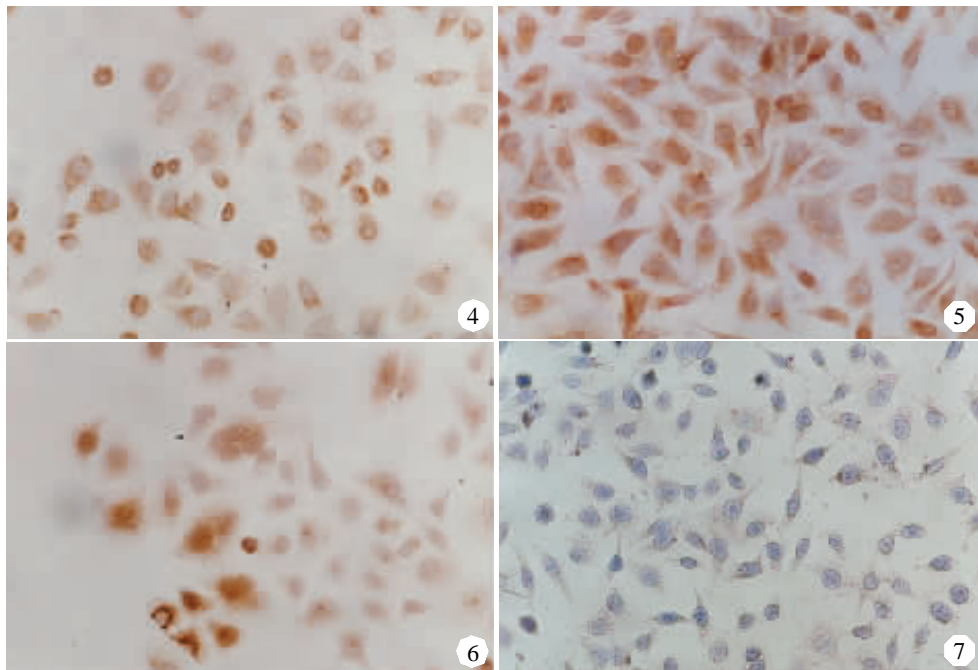


图 4 HBsAg-anti-HBs 复合物组细胞 HBsAg 呈阳性表达图 200 兔

Fig 4 HBsAg-positive signals in cells co-incubated with HBsAg-anti-HBs complex 图 200 兔

图 5 HBsAg壳IBeAg壳anti-HBc 均阳性血清和高滴度 anti-HBs 阳性血清孵育物组细胞 HBsAg壳阳性表达图 200 兔
Fig 5 HBsAg-positive signals in cells incubated with co-culture of heat-inactivated sera positive for HBsAg-, HBeAg-, and anti-HBc and sera containing high-titer anti-HBs 图 200 兔

图 6 HBsAg,HBeAg,anti-HBc 均阳性血清组细胞(芋)有少量 HBsAg 阳性信号图 200 兔

Fig.6 Slight HBsAg-positive signals in cells co-incubated with heat-inactivated sera positive for HBsAg-, HBeAg-, and anti-HBc (芋)图 200 兔
图 7 与 HBsAg 共同孵育组的细胞图 200 兔 HBsAg 阳性信号出现图 200 兔
Fig.7 No HBsAg-positive signal in cells co-incubated with HBsAg 图 200 兔

3 讨论

HBV 从感染的母亲传给胎儿必须通过由绒毛滋养层壳毛内薄层结缔组织和绒毛内毛细血管内皮组成的胎盘屏障壳毛表面的滋养层在母胎之间形成一连续的物理屏障袁具有选择性通透作用袁避免了母胎之间免疫活性细胞的直接接触袁对病原微生物也有一定的阻挡作用遥且某些病毒^{1~16}却会以某种方式通过胎盘屏障到达胎儿血循环遥病毒通过胎盘屏障的机制目前尚不清楚遥由于胎盘屏障的第一层细胞是滋养层细胞袁该层细胞直接与母亲血液接触袁因此袁滋养层细胞在病毒宫内传播中的作用不容忽视遥多位学者对滋养层细胞进行体外培养袁然后用病毒进行感染袁发现在

离体状态下袁某些病毒可感染合体滋养层细胞^{17~20}遥这些结果说明袁滋养层细胞在离体情况下可以被某些病毒感染袁而为病毒宫内感染机制的研究指明了方向遥

闫永平等²¹研究发现 HBV 感染的胎盘组织各层细胞中袁感染的分布频度^{1~16}袁由母面的蜕膜细胞至胎儿的绒毛毛细血管内皮细胞袁呈逐渐下降的趋势遥提示 HBV 感染蜕膜细胞至胎儿滋养层或绒毛间质细胞袁最后至绒毛毛细血管内皮细胞袁有一个细胞转移过程遥他们应用免疫酶组织化学和免疫荧光组织化学法分别检测血清 HBsAg 阳性胎盘的 HBsAg袁两种方法均在胎盘滋养层壳毛间质和蜕膜细胞中发现 HBsAg遥提示的确发生了 HBV 宫内感染遥刘蓬勃

等¹⁴应用免疫荧光染色法检测了血清学HBsAg阳性
和阴性胎盘组织上Fc受体的分布。发现Fc受体主要
存在于绒毛间隙的母血细胞中，而Fc受体在胎盘
的各层细胞均未检测到。Fc受体主要存在于绒毛间
质细胞中，主要分布于滋养层细胞和绒毛间质
细胞。说明滋养层细胞表面存在固有的Fc受体。
不受HBV感染与否的影响。Fc受体在HBV宫内传播
中有重要作用。¹⁵徐德忠等¹⁶应用免疫荧光组织化学法
检测HBsAg阳性胎盘组织抗HBs和抗原-抗体-补
体复合物。发现这两种物质与HBsAg的分布相一致。
也存在于胎盘滋养层、绒毛间质和蜕膜细胞中。
用双标记免疫荧光技术证实了HBsAg和抗HBs是以复
合物的形式存在于胎盘绒毛滋养层和间质细胞。
由于滋养层细胞属上皮细胞，无吞噬功能。
而且HBsAg-抗HBs复合物又属非液相物质，无法通过胞饮作用
进入细胞。
因此我们认为母亲感染HBV后，其血液
中的HBsAg与所产生的抗HBs形成HBsAg-抗HBs
复合物。
复合物中抗HBs的Fc段与滋养层细胞上的
Fc受体相结合，通过Fc受体介导将HBsAg带入滋
养层细胞内，而使其受到感染。
我们在此基础上，
分离培养了人胎盘滋养层细胞，并分别在anti-HBs存在
和不存在情况下，将其与HBsAg及其相关因子共同
孵育后，检测了细胞HBsAg的感染情况。
检测结果与我们预期的基本一致。
初步证实了HBsAg可以进入体外培养的人胎盘滋
养层细胞。
而且在此过程中是依赖抗HBs的存在的。
但由于没有检测体外培养的人胎盘滋
养层细胞上Fc受体的表达状况和进行Fc受体
的阻断实验，尚不能证实HBsAg-抗HBs复合物进
入人胎盘滋养层细胞是否通过Fc受体介导的。
这是我们下一步要进行的工作。

参考文献院

- 1 咨唐时幸,于光烈,程绍尧. HBV宫内感染机制和影响因素的研究
中华流行病学杂志,1991,12(6):325-6.
Tang SX, Yu GL, Cheng SY. Study on the mechanisms and influential factors of intrauterine infection of hepatitis B virus
Chin J Epidemiol, 1991, 12(6):325-6.
- 2 咨Ohto H, Lin HH, Kawana T, et al. Intrauterine transmission of hepatitis B virus is closely related to placental leakage
J Med Virol, 1987, 21(1):1-6.
- 3 咨Lin HH, Lee TY, Chen DS, et al. Transplacental leakage of HBeAg-positive maternal blood as the most likely route in causing intrauterine infection with hepatitis B virus
J Pediatr, 1987, 111:877-81.
- 4 咨门可,徐德忠,闫永平,等. HBV宫内感染及其相关因素的研究
第四军医大学学报,1996,17:28-30.
Men K, Xu DZ, Yan YP, et al. Study of HBV intrauterine transmission and its relative factors
Fourth Mil Med Univ, 1996, 17:28-30.
- 5 咨Lucifora G, Martines F, Calabro S, et al. HBcAg identification in the

- placental cytotypes of symptom-free HBsAg-carrier mother: A study with the immunoperoxidase method
Am J Obstet Gynecol, 1990, 163(2):235-9.
- 6 咨闫永平,徐德忠,王文亮,等.乙型肝炎表面抗原阳性孕妇不同孕
期胎盘乙型肝炎病毒感染状况
中华医学杂志,1998,78(1):
76-7.
Yan YP, Xu DZ, Wang WL, et al. Location of HBV infection in placentas of HBsAg-positive pregnant women with different gestations
Natl Med J Chin, 1998, 78(1):76-7.
- 7 咨徐德忠,闫永平,徐剑秋,等. HBV宫内感染机制及其危险因素
的分子流行病学研究
中华医学杂志,1999,79(1):24-7.
Xu DZ, Yan YP, Xu JQ, et al. A molecular epidemiology study on risk factors and mechanism of HBV intrauterine transmission
Natl Med J Chin, 1999, 79(1):24-7.
- 8 咨刘蓬勃,徐德忠.病毒的宫内传播及机理研究
中国公共卫生,1998,14:694-6.
Liu PB, Xu DZ. Virus intrauterine transmission and its mechanism
Chin Pub Health, 1998, 14:694-6.
- 9 咨Xu DZ, Yan YP, Zou S, et al. Role of placental tissues in the intrauterine transmission of hepatitis B virus
Am J Obstet Gynecol, 2001, 185(4):981-7.
- 10 咨Wang XP, Xu DZ, Li YG, et al. In vitro culture of human trophoblasts
Fourth Mil Med Univ, 2002, 23(22):2023-6.
- 11 咨Ekin E, Lysikiewicz A, Garry D. Intrauterine transmission of hepatitis A virus
Am J Obstet Gynecol, 1996, 88(4):690-1.
- 12 咨Meyohas MC, Marechal V, Desire N. Study of mother-child Epstein-Barr virus transmission by means of nested PCR
J Virol, 1996, 70(10):6816-9.
- 13 咨Maury W, Potts BJ, Rabson AB. HIV-1 infection of first-trimester and term human placental tissue: a possible mode of maternal-fetal transmission
Infect Dis, 1989, 160(4):583-7.
- 14 咨Tseng CJ, Lin CY, Wang RL. Possible transplacental transmission of human papillomaviruses
Am J Obstet Gynecol, 1992, 166(1):35-40.
- 15 咨Sedlacek TV, Lindheim S, Eder. Mechanism for human papilloma-virus transmission at birth
Am J Obstet Gynecol, 1989, 161(1):55-9.
- 16 咨Puranen M, Yliskoski M, Saarikoski S. Vertical transmission of human papillomavirus from infected mothers to their newborn babies and persistence of the virus in childhood
Am J Obstet Gynecol, 1995, 174(2):694-9.
- 17 咨David FJE, Autran B, Tran HC. Human trophoblast cells express CD4 and are permissive for productive infection with HIV-1
Clin Exp Immunol, 1992, 88(1):10-6.
- 18 咨Toth FD, Petersen PM, Kiss J, et al. Antibody-dependent enhancement of HIV-1 infection in human teratocarcinoma cells cultured in vitro
Clin Exp Immunol, 1994, 96(4):389-94.
- 19 咨Landesman SH, Kalish LA, Burns DN. Obstetrical factors and the transmission of human immunodeficiency virus type-1 from mother to child
New Eng J Med, 1996, 334(25):1617-23.
- 20 咨Toth FD, Aboagye-Mathiesen G, Nemes J, et al. Epstein-Barr virus permissively infects human syncytiotrophoblasts in vitro and induces replication of human T-cell leukemia-lymphoma virus type 1 in individually infected cells
Virology, 1997, 229(2):400-14.
- 21 咨Chwartz DH, Sharma UK, Perlman EJ, et al. Adherence of human

- immunodeficiency virus-infected lymphocytes to fetal placental cells: A model of maternal-fetal transmission 咨
Proc Natl Acad Sci USA, 1995, 92(10):978-2.
- 咱2暂 Toth FD, Petersen PM, Kiss J, et al. Interactions between human immunodeficiency virus type-1 and human cytomegalovirus in human term syncytiotrophoblast cells coinfecting both viruses 咨
Virol, 1995, 69(4):2223-32.
- 咱3暂 Lagaye S, Derrien M, Menu E, et al. Cell-to-cell contact results in a selective translocation of maternal human immunodeficiency virus type 1 quasi-species across a trophoblastic barrier by both transcytosis and infection 咨
Virol, 2002, 75(10):4780-91.
- 咱4暂 David FE, Tran HC, Serpente N, et al. HIV infection of choriocarcinoma cell lines derived from human placenta: the role of membrane CD4 and Fc-Rs into HIV entry 咨
Virology, 1995, 208(8):784-8.
- 咱5暂 Hemings DG, Kilani R, Nykiforuk C, et al. Permissive cytomegalovirus infection of primary villous term and first trimester trophoblasts 咨
Virol, 1998, 72(6):4970-9.
- 咱6暂 McGann KA, Collman R, Kolson DL. Human immunodeficiency virus type 1 causes productive infection of macrophages in primary placental cell cultures 咨
J Infect Dis, 1994, 169(8):746-53.
- 咱7暂 刘蓬勃, 徐德忠, 王歆, 等. Fc受体在胎盘细胞的分布 咨
第四军医大学学报, 2001, 22(5):459-61.
- Liu PB, Xu DZ, Wang X, et al. Distribution of Fc receptor in human placenta 咨
Fourth Mil Med Univ, 2001, 22(5):459-61.

降主动脉夹层动脉瘤手术治疗 1 例报告

Surgical treatment of dissecting aneurysm of the descending aorta: report of one case

陈太德¹袁利军¹袁朝龙²渊广东省四会市妇幼保健医院袁³广东四会 526200 曰第一军医大学南方医院肝胆科袁⁴广东广州 510515冤

关键词降主动脉夹层动脉瘤

中图分类号R732.21 文献标识码B 文章编号院000-2588(2003)01-0020-01

降主动脉夹层动脉瘤在临上较为少见。近来我院收治 1 例降主动脉夹层动脉瘤患者。对患者行胸主动脉切除 + 人工血管重建术, 取得了成功。现报告如下。

1 临床资料

病人女袁4岁。因左上腹及背部疼痛2d于2002年6月17日入院。查体血压21.3/14.7 kPa。心肺未见异常。腹部平软, 左上腹部轻度压痛。叩诊鼓音, 可扪及动脉搏动。未扪及肿块。肝脾未触及。B超检查示腹主动脉夹层动脉瘤。排除并胸主动脉夹层的可能。MRI诊断左主动脉峡部至左肾动脉水平主动脉病变。考虑为夹层动脉瘤。入院后予以镇痛、降压等治疗。病情稳定后于2002年7月25日在全麻下行右股动脉外转流。上半身取右侧卧位, 下半身取半斜位。胸腹联合切口。从左肩胛下至脐上方长约50cm。打开胸腹腔。见降主动脉增宽, 直径约5cm。上界至降主动脉峡部, 下界至腹腔干以上。于左颈总动脉与左锁骨下动脉之间阻断近端血流。阻断远端血流。左锁骨下动脉以下膈肌角以上完全切断降主动脉, 长约15cm。从行切开降主动脉。见内膜撕裂口在降主动脉峡部。主动脉内膜与浆肌层分离。膜层可见坏死组织。伪腔内有较多血栓形成。术中清除部分血栓。缝扎此段肋间动脉血管4对。切除胸主动脉夹层动脉瘤。取长约15cm, 直径2.4cm的人工血管用6-0号血管缝合线行人工血管移植吻合。

收稿日期院002-09-13

作者简介陈太德渊964-冤袁利军袁江上犹人袁987年毕业于赣南医学院袁主治医师袁758-3335190

于远近主动脉切端处除人工血管空气恢复血流后, 去掉右股动静脉转流。病理诊断符合降主动脉夹层动脉瘤改变。术后恢复顺利。未出现截瘫等并发症。术后复查B超示降主动脉血流通畅。未见异常回声。于2002年8月15日痊愈出院。

2 讨论

本病少见。发病率每年每百万人5~10例。年龄在50~70岁。男多于女。主动脉夹层的确切病因不明。但与以下情况有关: 高血压、遗传性结缔组织病、马凡综合征、主动脉中膜变性、主动脉缩窄、先天性动脉瓣膜病、妊娠、动脉硬化、主动脉炎性疾病、单纯性或医源性创伤等。

根据发病时间, 在14d内为急性主动脉夹层, 超过14d则为慢性主动脉夹层。

主动脉夹层动脉瘤病情急剧。诊断主要依靠症状和体征。90%病人在急性期突发胸前背或/和腹部剧烈疼痛。多为撕裂样疼痛。持续性。难以忍受。近来我院收治的1例病人就出现左上腹及腰背部剧烈疼痛。30年来由于影像技术的迅速发展。T、MRI、超声心动、螺旋CT、主动脉造影和DSA等可以对夹层动脉瘤进行有效的诊断。治疗以外科手术为宜。

参考文献院

- 咱 段志泉, 张强. 实用血管外科学. 沈阳: 辽宁科学技术出版社, 1999. 322-5.
- 咱 汪忠镐. 主动脉夹层和夹层动脉瘤的进展. 中国普通外科杂志 (Chin J Gen Surg), 2002, 11: 385-4.